

Entrée et sortie: Système Laser Reflective LRS18a

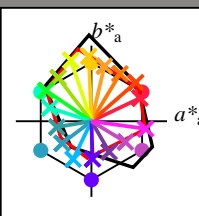
Données de couleurs périphériques (d)  
ou élémentaires (e): $H^*_e$ code de teinte pour les cou-  
leurs de cette page: $H^*_e = R00Y_e, R25Y_e, \dots, B75R_e$ 

LRS18a; données CIELAB (a) adaptées

$H^*_e$	$L^*=L^*_a a^*_a$	$b^*_a$	$C^*_{ab,a}$	$h^*_{ab,a}$
R00Y_100_100_e	48.3	64.2	30.6	71.1
R25Y_100_100_e	50.5	58.6	51.1	77.8
R50Y_100_100_e	61.1	37.8	62.8	73.3
R75Y_100_100_e	72.1	17.1	72.8	74.8
Y00G_100_100_e	84.3	-3.4	85.8	85.9
Y25G_100_100_e	84.0	-27.1	80.6	85.0
Y50G_100_100_e	69.4	-43.7	57.5	72.3
Y75G_100_100_e	58.2	-60.0	40.6	72.5
G00B_100_100_e	58.4	-54.9	17.6	57.7
G25B_100_100_e	59.0	-45.6	-7.7	46.3
G50B_100_100_e	55.3	-38.8	-29.2	48.5
G75B_100_100_e	52.2	-24.1	-50.2	55.7
B00R_100_100_e	38.0	1.5	-49.8	49.8
B25R_100_100_e	38.4	23.5	-40.4	46.8
B50R_100_100_e	44.8	45.0	-27.4	52.7
B75R_100_100_e	49.8	71.7	-9.9	72.3

LRS18a; données CIELAB (a) adaptées

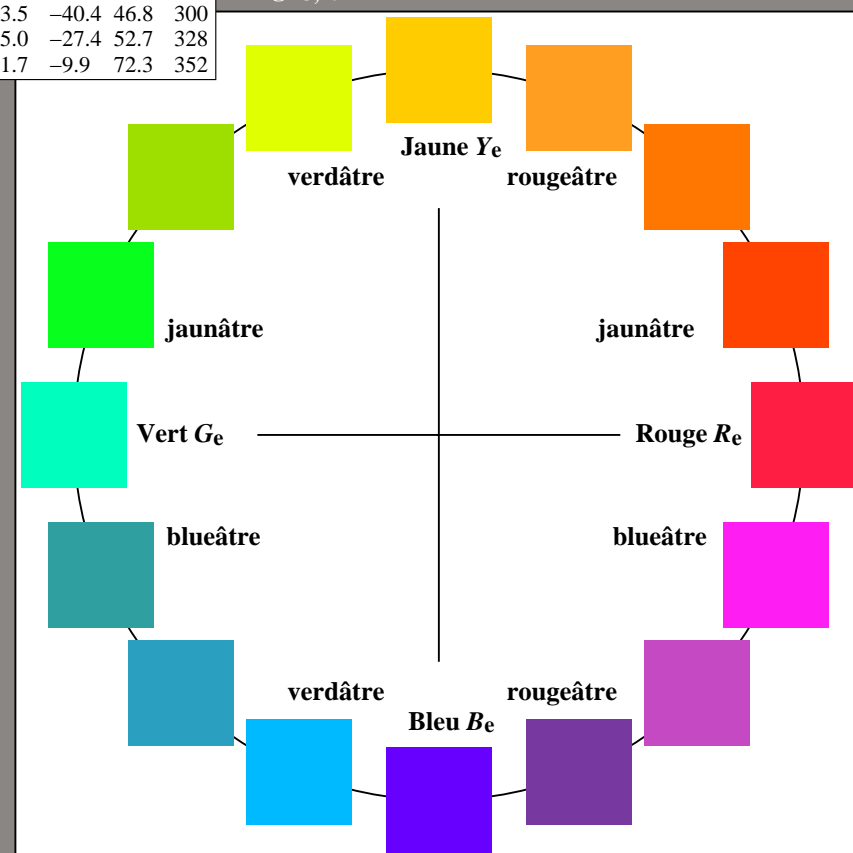
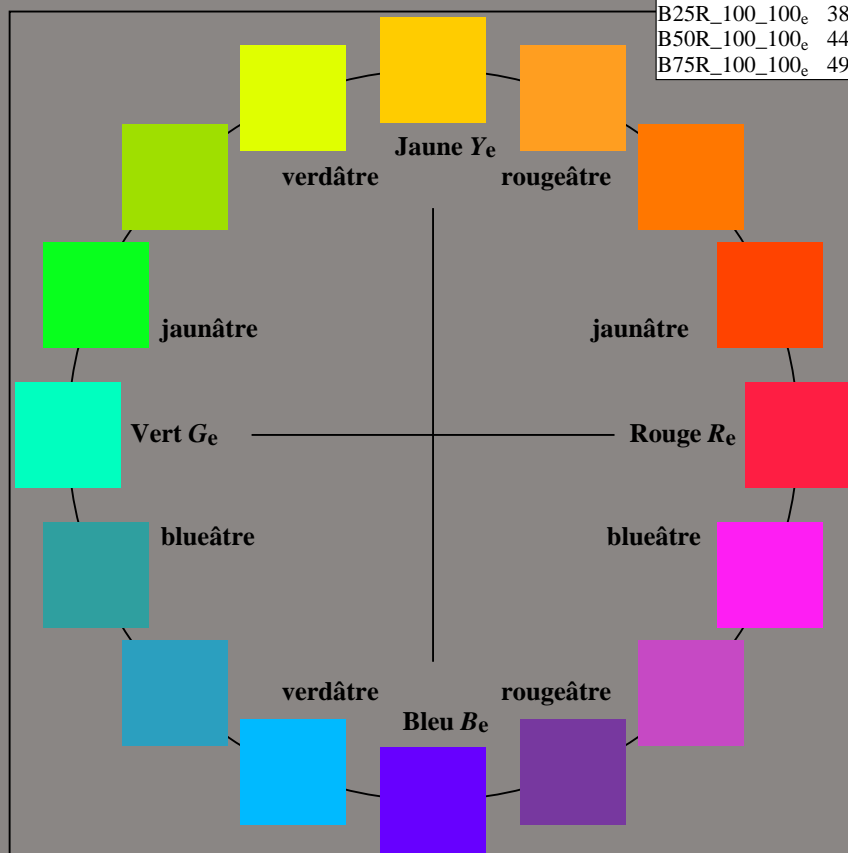
nom	$L^*=L^*_a a^*_a$	$b^*_a$	$C^*_{ab,a}$	$h^*_{ab,a}$
R <sub>e</sub> ,Ma	48.3	64.2	30.6	71.1
Y <sub>e</sub> ,Ma	84.3	-3.4	85.8	85.9
G <sub>e</sub> ,Ma	58.4	-54.9	17.6	57.7
C <sub>e</sub> ,Ma	55.3	-38.8	-29.2	48.5
B <sub>e</sub> ,Ma	38.0	1.5	-49.8	49.8
M <sub>e</sub> ,Ma	44.8	45.0	-27.4	52.7
N <sub>e</sub> ,Ma	15.7	0.0	0.0	0
W <sub>e</sub> ,Ma	96.3	0.0	0.0	0
R <sub>e</sub> ,CIE	39.9	58.7	27.9	65.0
Y <sub>e</sub> ,CIE	81.2	-2.8	71.5	71.6
G <sub>e</sub> ,CIE	52.2	-42.4	13.6	44.5
B <sub>e</sub> ,CIE	30.5	1.4	-46.4	46.4



%Gamme

 $u^*_{rel} = 114$ 

%Régularité

 $g^*_{H,rel} = 28$  $g^*_{C,rel} = 38$ 

RF800-73

3-113134-L0

graphique TUB-RF80; cercle de teinte, 16 étapes,  $cf=1$   
graphique conforme à DIN 33872, 3D=1,  $de=1$ ,  $rgb^*$ entrée :  $rgb/cmyk \rightarrow rgb_{de}$   
sortie : linéarisation 3D selon  $rgb^*_{de}$